

А. А. Хубатхузин, И. Ш. Абдуллин, Э. Б. Гатина,  
Д. И. Калашников

## ИЗМЕНЕНИЕ ФИЗИКО-МЕХАНИЧЕСКИХ СВОЙСТВ МЕТАЛЛОВ И ИХ СПЛАВОВ С ПОМОЩЬЮ ВЧ-ПЛАЗМЫ ПОНИЖЕННОГО ДАВЛЕНИЯ

*Ключевые слова:* струя, ВЧ плазма, температура, пониженное давление.

*Проведены исследования изменения свойств металлов и их сплавов с помощью высокочастотного индукционного разряда пониженного давления при его взаимодействии с обрабатываемым изделием.*

*Keywords:* RF plasma, stream, temperature, low pressure.

*Investigations of changes in the properties of metals and alloys with a high-frequency inductive discharge of low pressure and its interaction with the workpiece.*

Плазма высокочастотных (ВЧ) разрядов пониженного давления ( $p = 13,3 - 133$  Па) является перспективным инструментом обработки материалов различной природы. Она позволяет эффективно обрабатывать органические и неорганические материалы с различным внутренним составом и структурой, а также поверхности изделий сложной конфигурации.

В результате ее воздействия возможно улучшение сразу нескольких параметров, например, повышение усталостной прочности одновременно с наведением в поверхностном слое сжимающих остаточных напряжений и уменьшением шероховатости.

Природа возникновения таких эффектов, очевидно, связана с одновременным разноплановым воздействием ВЧ плазмы на поверхность твердых материалов. Во-первых, при такой обработке удаляются поверхностные загрязнения, включая оксидные пленки, технологические смазки и т.д., которые неизбежно присутствуют на поверхности материалов. Во-вторых, в результате обработки снижается шероховатость поверхности материалов, т.к. ионная бомбардировка концентрирует ионное воздействие на вершинах микронеровностей. В-третьих, бомбардировкой ионов при ВЧ плазменной обработке достигается заливание микротрещин поверхности материала. В-четвертых, бомбардировка позволяет улучшать внутреннюю структуру материалов за счет перераспределения дефектных слоев. Это, в свою очередь, снижает риск возникновения центров разрушения материалов, особенно при знакопеременных нагрузках.

Экспериментальные исследования показали, что в результате воздействия ВЧ плазмы пониженного давления на исследованные материалы изменяется цвет поверхности, что свидетельствует об образовании тонкой пленки.

С целью установления влияния воздействия высокочастотной (ВЧ) плазмы на свойства поверхности, проведена обработка различных металлов и их сплавов: стали коррозионностойкие, жаростойкие, жаропрочные и износостойкие типа 30Х13, 12Х18Н9Т, 08Х18Т1; стали конструкционные, углеродистые качественные типа сталь 50, сталь 40,

сталь 30; титановые сплавы ВТ-1, ВТ-3, ВТ-6, ВТ-8, ВТ-9; алюминиевые сплавы Д16Т, АМЦ, силумины.

### Нанополировка поверхностей металлов потоком высокочастотной плазмы

С целью установления закономерностей взаимодействия ВЧ плазмы с поверхностью материалов проводилась обработка образцов при варьировании входных параметров установки в следующих диапазонах: внутренний диаметр разрядной камеры изменялся от 10 до 110 мм, потребляемая мощность – от 2,5 до 18 кВт, частота генератора – 1,76 и 13,56 МГц.

Вакуумный блок (рис.1) создан на базе установки, предназначенный для нанесения тонких слоев металлов и диэлектриков в вакууме. Основание вакуумного блока смонтировано в виде сварного каркаса, на верхней плоскости которого крепится плита. На ней размещены вакуумный колпак и подколпачные механизмы: карусели с образцами, устройства подъема и опускания карусели. Внутри каркаса блока размещены ВЧ плазмотрон, система вакуумных трубопроводов, вентили, подъемник колпака с электроприводом, блок электропитания, система водяного охлаждения узлов установки. В колпаке предусмотрены устройства ввода и вывода для подачи дополнительного потенциала на изделие.



Рис. 1 - Вакуумный блок установки для получения ВЧ плазмы

Вакуумная откачная система построена на базе двухроторного насоса типа АВР-50 с быстрой действия 50 л/с.

Система питания плазмотрона рабочим газом состоит из баллона со сжатым газом, редуктора для понижения давления, образцового манометра и ротаметра для определения расхода газа и игольчатого натекателя для регулирования расхода, устройства для получения смеси газов.

Система водоснабжения установки служит для обеспечения заданного теплового режима деталей и узлов, наиболее нагруженных в тепловом отношении: генераторной лампы, индуктора, разрядной камеры, вакуумного колпака. Подвод воды к установке и отвод из нее осуществляется при помощи резиновых шлангов.

Аппаратура контроля применяется для контроля входных параметров установки: ВЧ напряжения и тока, частоты генератора при проведении всех экспериментов по обработке материалов.

Для измерения давления в ходе исследования использовался образцовый манометр. Калибровка образцового манометра производилась по показаниям компрессионного манометра «вакустата» Брунера, с помощью которого оценивалась также точность показаний. Погрешность измерения давления в рабочей камере составляет 5 %.

С целью установления закономерностей взаимодействия ВЧ-плазмы с поверхностью материалов проводилась обработка образцов при варьировании входных параметров установки в следующих диапазонах: расход плазмообразующего газа 0,025-0,15 г/с, потребляемая мощность – от 2,5 до 10 кВт, частота генератора – 1,76 МГц.

В качестве рабочего газа при исследовании процессов финишной очистки и нанополировки поверхности использовался технически чистый аргон. Для повышения микротвердости поверхности изделия использовалась смесь газов из аргона и азота в соотношении 70% на 30%. Предварительное давление в рабочей камере – от 1,33 до 13,3 Па, рабочее давление – от 13,3 до 133 Па, расход плазмообразующего газа – до 0,15 г/с.

Внутренние характеристики разряда и плазменной струи при этом изменяются в следующих диапазонах: концентрация электронов  $n_e = 10^{17} - 10^{19}$  1/m<sup>3</sup>, плотность тока в плазме  $j = 0,8 - 1,0$  A/m<sup>2</sup>, напряженность магнитного поля в ВЧИ разряде  $H_z = (0,6 - 2,5) \cdot 10^3$  В/м, скорость потока 70-500 м/с, толщина СПЗ до 1,5–2 мм, энергия ионов  $W_i = 40 - 80$  эВ и плотность ионного тока  $j_i = 0,3 - 15$  A/m<sup>2</sup>.

Образцы материалов закреплялись в специальных креплениях на карусельных устройствах таким образом, чтобы при вводе их в поток неравновесной низкотемпературной плазмы проводилась обработка строго определенной зоны образца.

Образец устанавливался перпендикулярно потоку. Для устранения побочных эффектов образцы перед плазменной обработкой при изучении состава и структуры обезжиривались и обезвоживались.

В качестве рабочего газа при исследовании процессов финишной очистки и нанополировки поверхности использовался технически чистый аргон. Предварительное давление в рабочей камере – от 1,33 до 13,3 Па, рабочее давление – от 13,3 до 133 Па, расход плазмообразующего газа – до 0,15 г/с. Образец устанавливался перпендикулярно потоку. Для цилиндрических образцов предусматривалось вращение в процессе модификации поверхностного слоя. Приспособление либо заземлялось, либо специально изолировалось от базовой плиты вакуумного поста. Для устранения побочных эффектов образцы перед плазменной обработкой при изучении состава и структуры обезжиривались и обезвоживались. Температура образца при установлении закономерностей изменения свойств поверхностного слоя от плазменных параметров выбиралась такой, чтобы, с одной стороны, максимально интенсифицировать плазменные процессы, а с другой – чтобы при этой температуре термообработка не была бы доминирующим фактором. Эффективность плазменной обработки определяли по величине изменению шероховатости  $\Delta Ra$  и виду поверхности.

Установлено, что воздействие низкоэнергетическими ионами на поверхность металлов приводит к различным эффектам. Во-первых, при такой обработке удаляются поверхностные загрязнения, включая оксидные пленки, технологические смазки, которые неизбежно присутствуют на поверхности материалов. Во-вторых, в результате обработки снижается шероховатость поверхности материалов, т.к. ионная бомбардировка концентрирует ионное воздействие на вершинах микронеровностей. В-третьих, бомбардировкой ионов при ВЧ плазменной обработке достигается залечивание микротрещин поверхности материала. В-четвертых, проникновение ионов в поверхностный слой приводит к перераспределению дефектов в слое и как следствие улучшается внутренняя структура материала, что снижает риск возникновения центров разрушения, особенно при знакопеременных нагрузках.

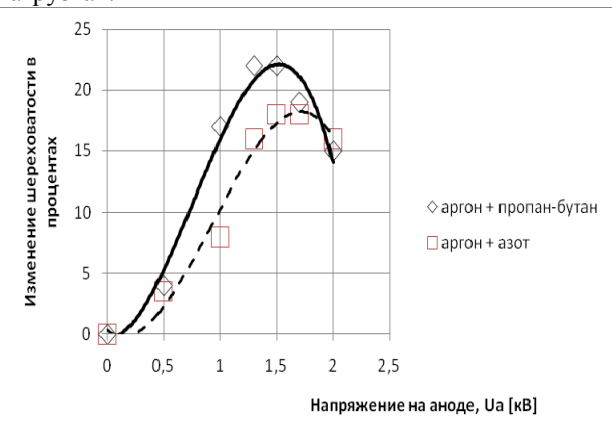


Рис. 2 - Изменение шероховатости поверхности стали 40 в зависимости от состава плазмообразующего газа и напряжения на аноде

Как видно из рис.2 наибольший эффект наблюдается при использовании в качестве плазмообразующего газа смеси аргона и пропан-бутана в соотношении 70% и 30%. Этот эффект можно наблюдать и на рис.3 и 4.

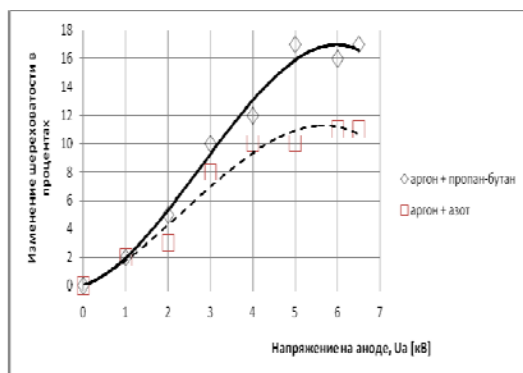


Рис. 3 - Изменение шероховатости поверхности сплава BT-1 в зависимости от состава плазмообразующего газа и напряжения на аноде

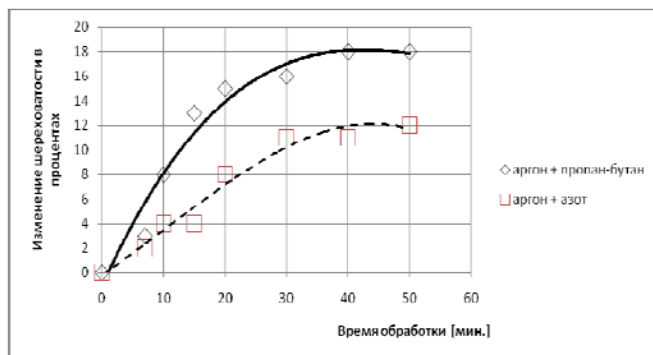


Рис. 4 - Изменение шероховатости поверхности стали 12Х18Н9Т в зависимости от состава плазмообразующего газа и напряжения на аноде

Представленные рисунки показывают возможность уменьшения шероховатости с помощью высокочастотной плазмы.

#### Упрочнение поверхности металлов и их сплавов

Выполненные экспериментальные исследования позволили установить, что в диапазоне энергии ионной бомбардировки 10-100 эВ и плотности ионного тока на поверхность 0,1-5 А/м<sup>2</sup> происходит модификация поверхностного слоя исследованных материалов толщиной 70-420 нм, в том числе изменение состава приповерхностного нанослоя.

Результаты экспериментальных исследований показали, что при добавлении в плазмообразующий газ реагирующих газов (N<sub>2</sub>, O<sub>2</sub>, CO<sub>2</sub>, CH<sub>4</sub>, C<sub>3</sub>H<sub>8</sub>+C<sub>4</sub>H<sub>10</sub>) состав образцов из металлов и сплавов изменяется в большей степени, чем при обработке в среде чистого аргона.

Совокупность результатов по модификации поверхности сталей, титановых сплавов в потоке ВЧ плазмы свидетельствует о том, что на поверхности образуются нанодиффузные покрытия.

Микроструктура сталей и титановых сплавов после обработки в ВЧ плазме изменяется. Характер изменения зависит от режима обработки.

В целом проведенное исследование показывает, что при воздействии ВЧ плазмы на поверхности сплава BT1, также как и на стали 30Х13, образуется очень тонкая защитная поверхностная пленка. Образцы сплава BT8 обрабатывались в ВЧ плазме в тех же режимах, что и BT1 после отжига и предварительной электрохимической полировки. При рентгеноструктурных исследованиях не выявлено появления новых фаз. Параметры решетки изменяются довольно сильно в сторону увеличения как параметра *a*, так и *c*. При измерении твердости, также как и для сплава BT1, обнаружена тенденция повышения твердости поверхности после обработки в кислородосодержащей плазме.

Образцы из стали 30Х13 обрабатывались ВЧ плазмой в тех же режимах. После обработки сталь покрывается тонкой пленкой желтого цвета.

Аналогичные результаты получены при обработке стали 12Х18Н9Т, титанового сплава BT6 и алюминиевых образцов.

Сопоставление полученных данных свидетельствует о следующем. Ни в одном образце не обнаружено образования новых фаз. Фазовый состав после всех режимов обработки аналогичен исходному. Обнаружено повышение твердости после обработки.

Для стали 12Х18Н9Т увеличение параметра «*a*» после воздействия плазмой связано со сжимающими макронапряжениями и с изменением химического состава поверхностного слоя. Увеличение ширины линий на дифрактограмме является следствием более высокого уровня микроискажений поверхностного слоя, связанного с наклепом, упрочнившим поверхность после воздействия неравновесной плазмой.

Изменение параметров кристаллической решетки приводит к изменениям физико-механических свойств поверхностных слоев. Металлографические исследования показали, что глубина модифицированного слоя составляет до 200 мкм. Результаты измерения микротвердости Н<sub>М</sub>, образцов металлов с различной предварительной обработкой поверхности (после шлифовки, полировки, поверхностного пластического деформирования) показывают заметное увеличение ее для всех исследованных материалов.

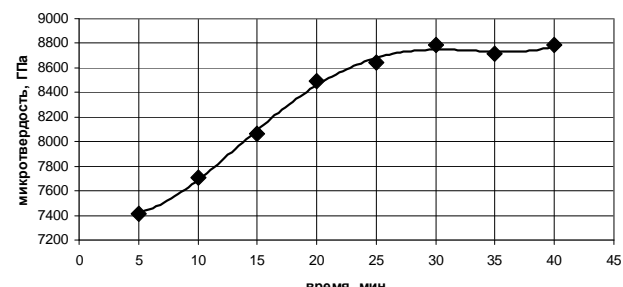
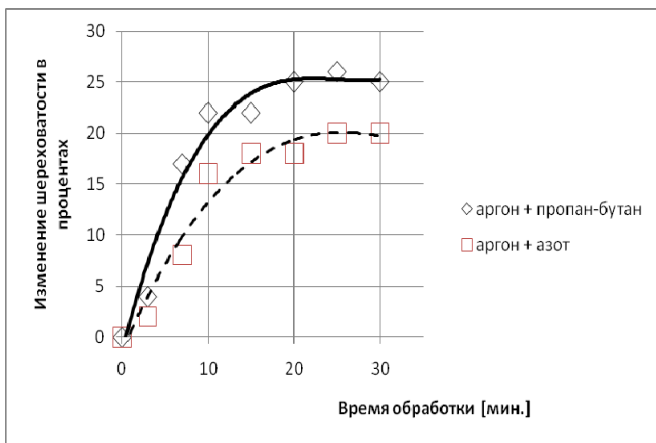


Рис. 5 - Зависимость увеличения микротвердости титанового сплава BT-1 от времени обработки



**Рис. 6 - Увеличения микротвердости стали 12Х18Н10Т**

Таким образом с помощью ВЧ плазмы пониженного давления могут быть получены модифицированные поверхности металлов и их сплавов.

*Работа выполнена при финансовой поддержке Министерства образования и науки Российской Федерации в рамках федеральной целевой программы «Исследования и разработки по приоритетным направлениям развития научно-технологического комплекса России на 2007-2013 годы» по госконтракту 16.552.11.7060.*

© А. А. Хубатхузин - к.т.н., доц. каф. вакуумная техника электрофизических установок КНИТУ, al\_kstu@mail.ru; И. Ш. Абдуллин – д.т.н., проф., зав. каф. плазмохимических и нанотехнологий высокомолекулярных материалов КНИТУ, abdullin\_i@kstu.ru; Э. Б. Гатина – к.м.н., с.н.с. той же кафедры, mukalia@mail.ru; Д.И. Калашников – асп. той же кафедры.

## Литература

1. В.В. Савич, Конструкции из композиционных материалов, 4, 114 – 119 (2006).
2. Н.Н. Каркищенко, Биомедицина, 1, 5 – 27 (2009).
3. Ю.А. Рахманин, Методические проблемы изучения и оценки био- и нанотехнологий (нановолны, частицы, структуры, процессы, биообъекты) в экологии человека и гигиене окружающей среды. Мир, Москва, 2007. 157 с.
4. Н.Н. Каркищенко, Биомедицина, 2, 5 -28 (2009).
5. <http://stroy.dbases.ru/Data1/52/52003/index.htm>
6. A. Hangfeldt, M. Gratzel Chem. Rev., 95, 49 – 68 (1995).
7. D.F. Ollis, H. Al-Ekabi (Eds.). Photocatalytic Purification of Water and Air. Elsevier, Amsterdam, 1993. 432 p.
8. M. Xu, N. Huang, Z. Xiao, Z. Lu, Supramol. Sci., 5, 449 – 451 (1998).
9. И.Ш. Абдуллин, А.А. Хубатхузин, Вестник Казанского технологического университета, 11; 625 – 627 (2010).
10. И.Ш. Абдуллин, А.А. Хубатхузин, Вестник Казанского технологического университета, 11; 628 – 629 (2010).
11. Желтухин В.С., Шемахин А.Ю. Расчет газодинамики струй ВЧ-плазмы пониженного давления // Учен. зап. Казан. ун-та. Сер. Физ.-матем. науки. - 2011. - Е. 153, кн.4. — С. 135-142.